

Fig. 1

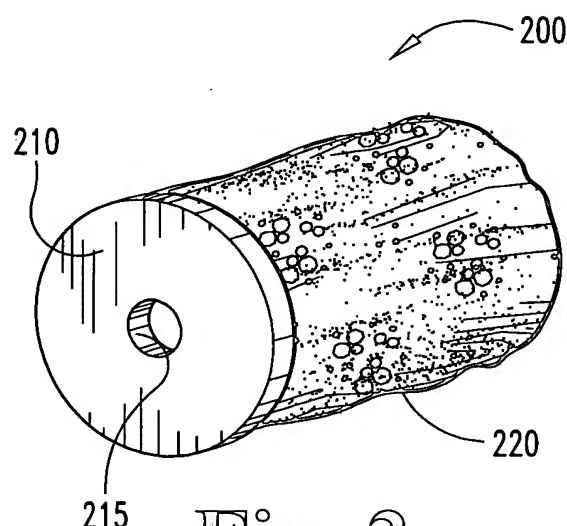


Fig. 2

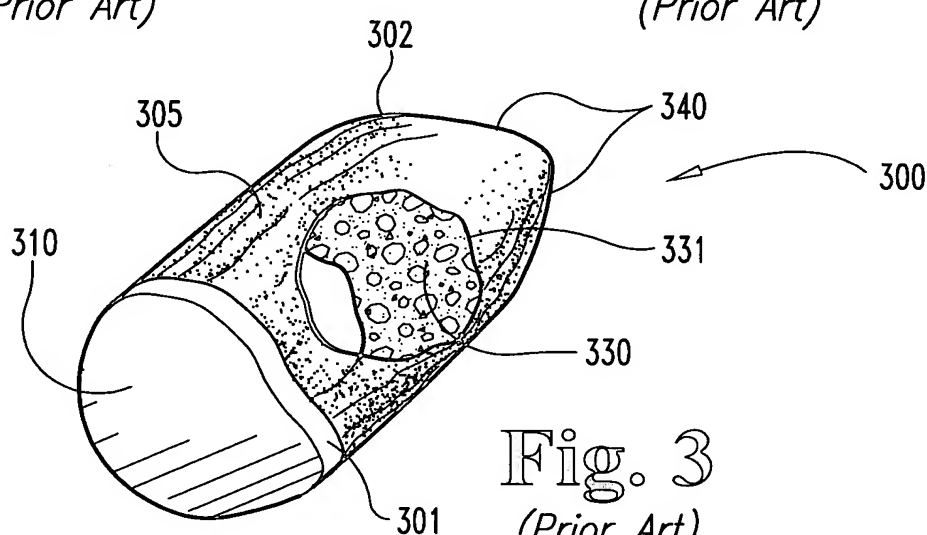


Fig. 3
(Prior Art)

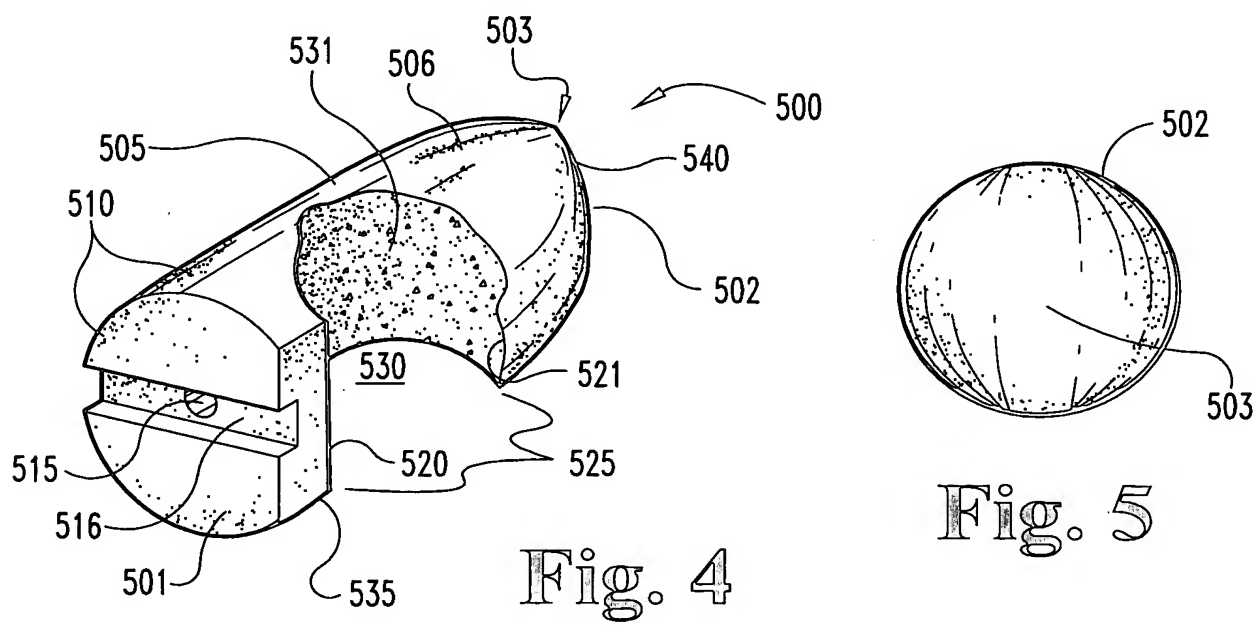


Fig. 4

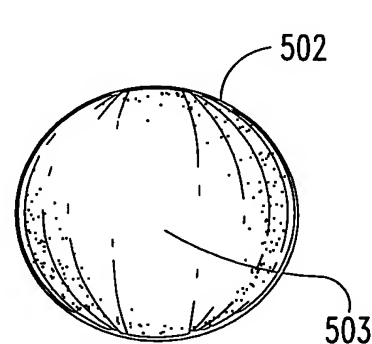


Fig. 5

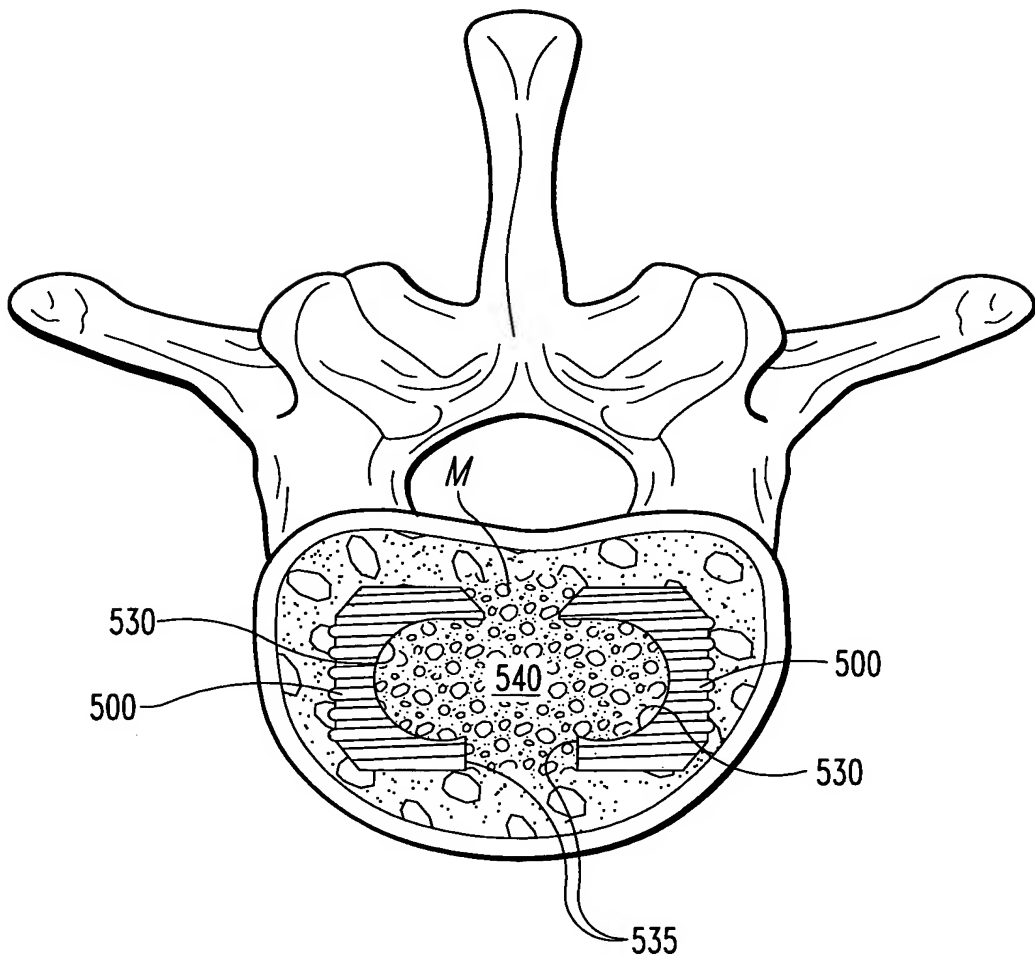


Fig. 6

Fig. 7

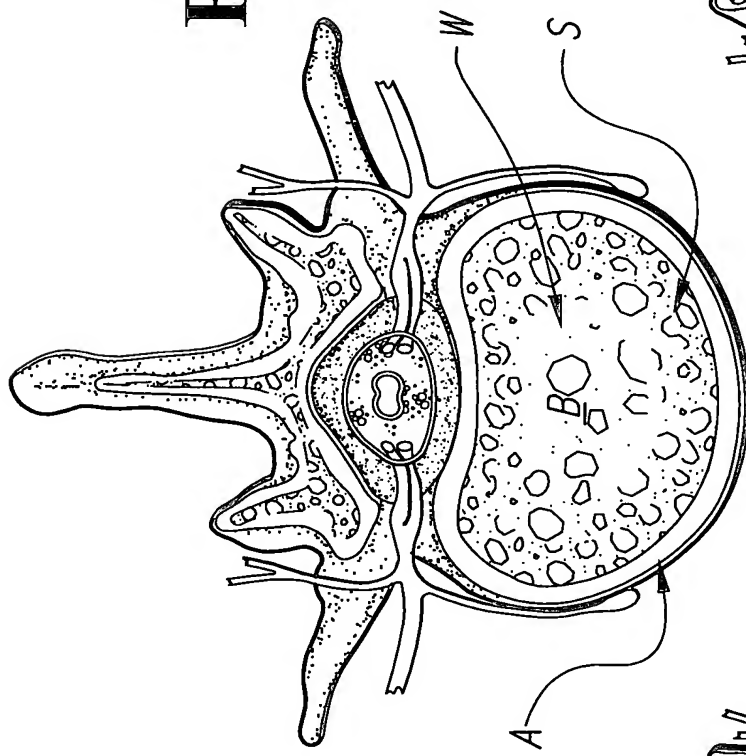


Fig. 9

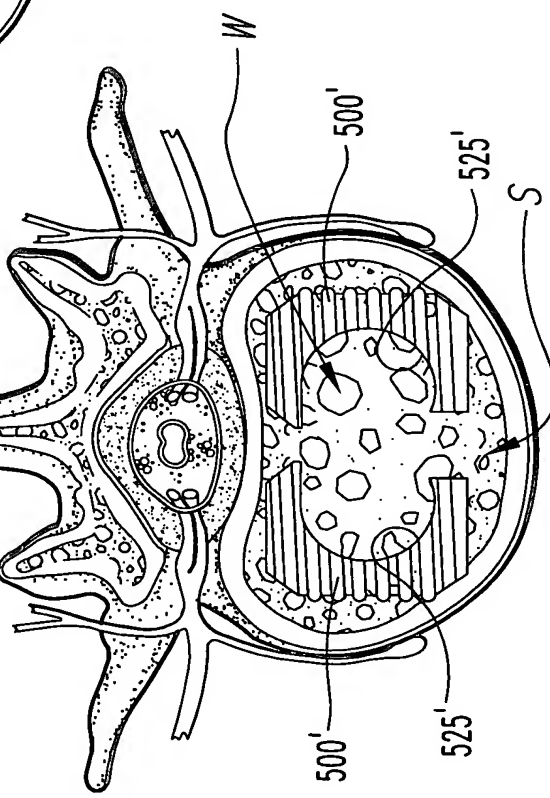


Fig 8

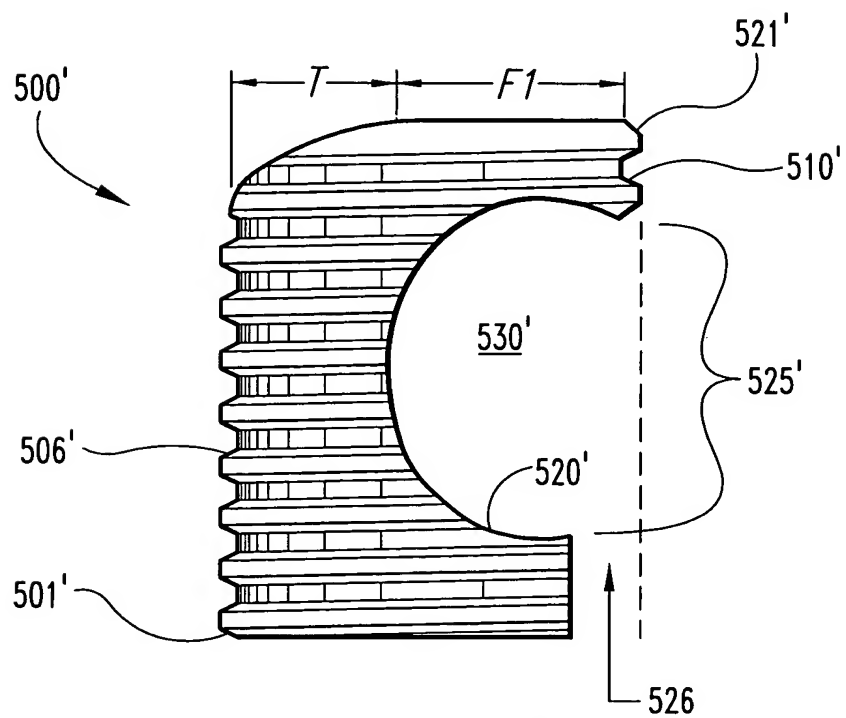


Fig. 10

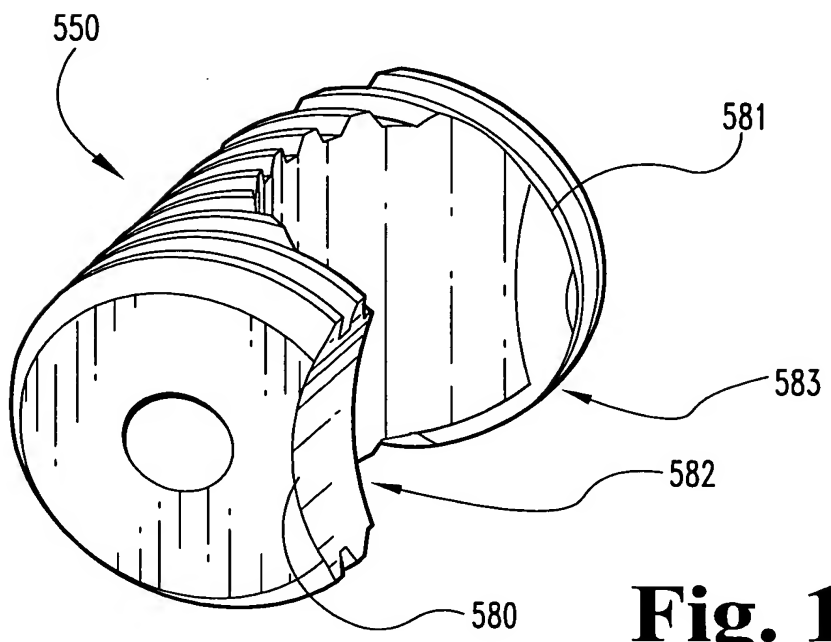


Fig. 11

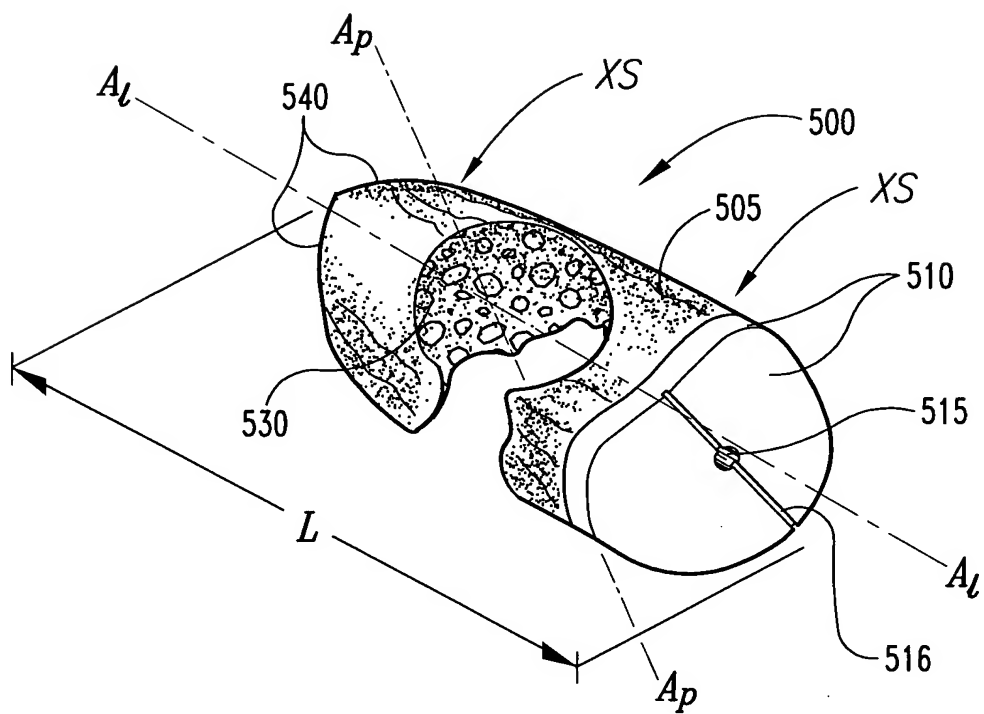


Fig. 12

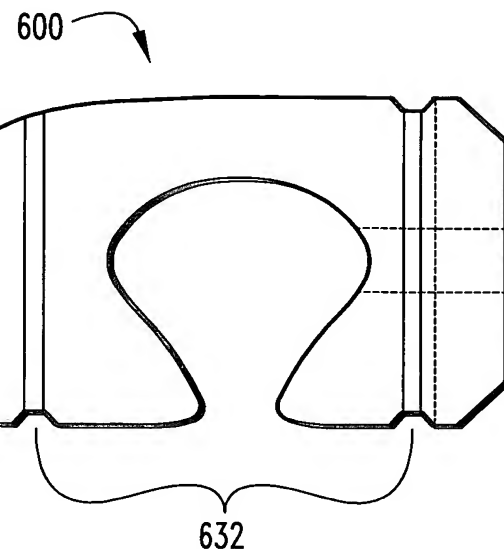


Fig. 13

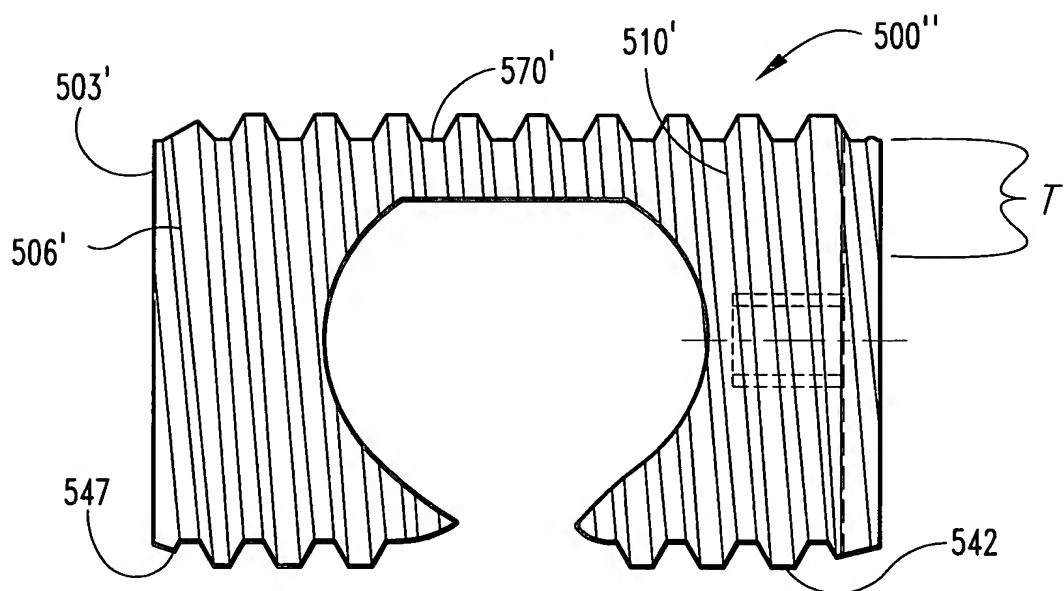


Fig. 14

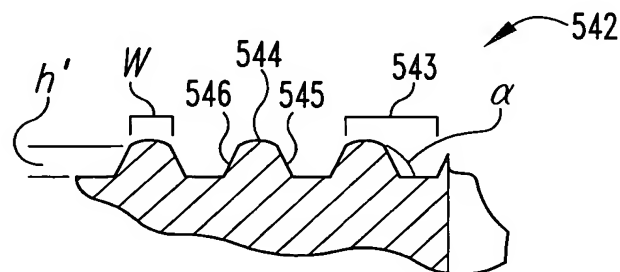


Fig. 15

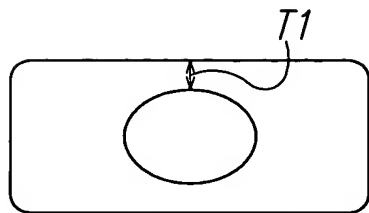


Fig. 16A

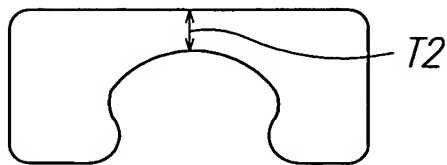


Fig. 16B

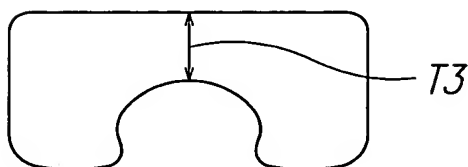


Fig. 16C

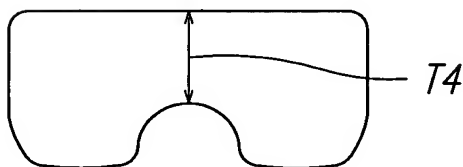


Fig. 16D

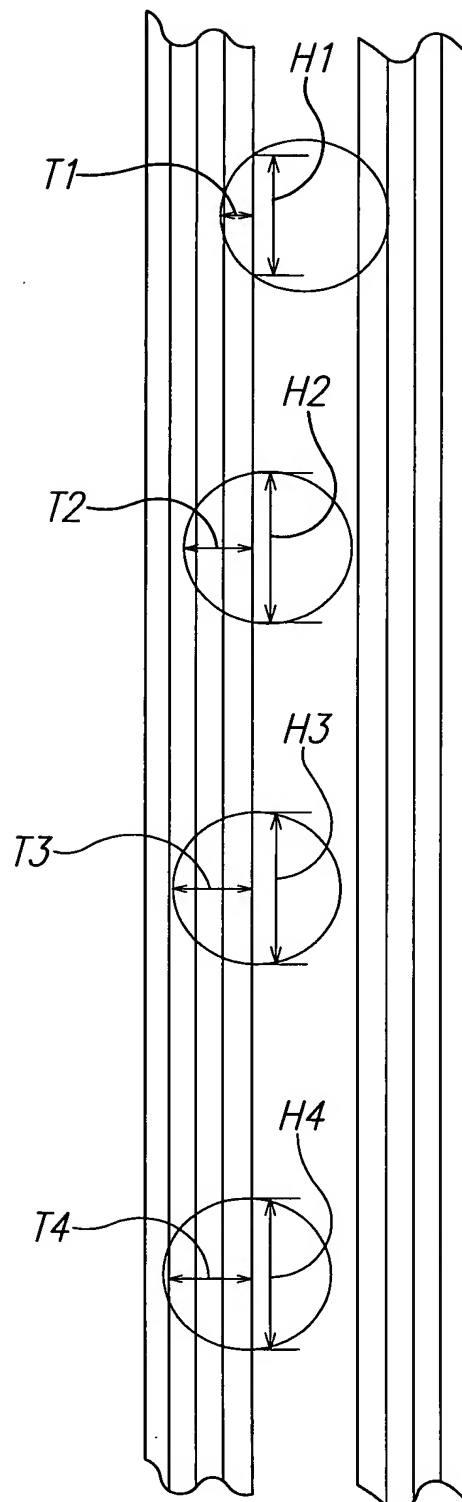


Fig 16

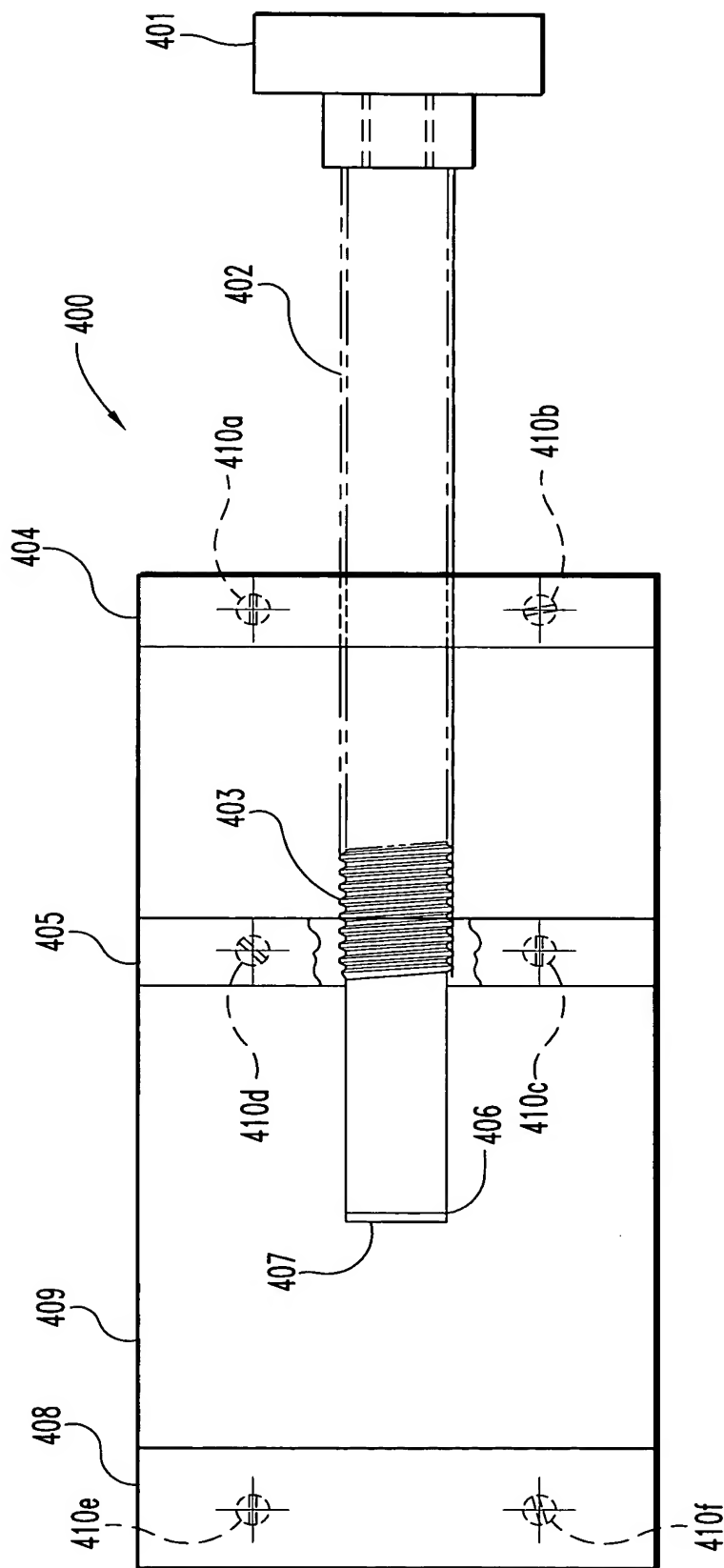


Fig. 17

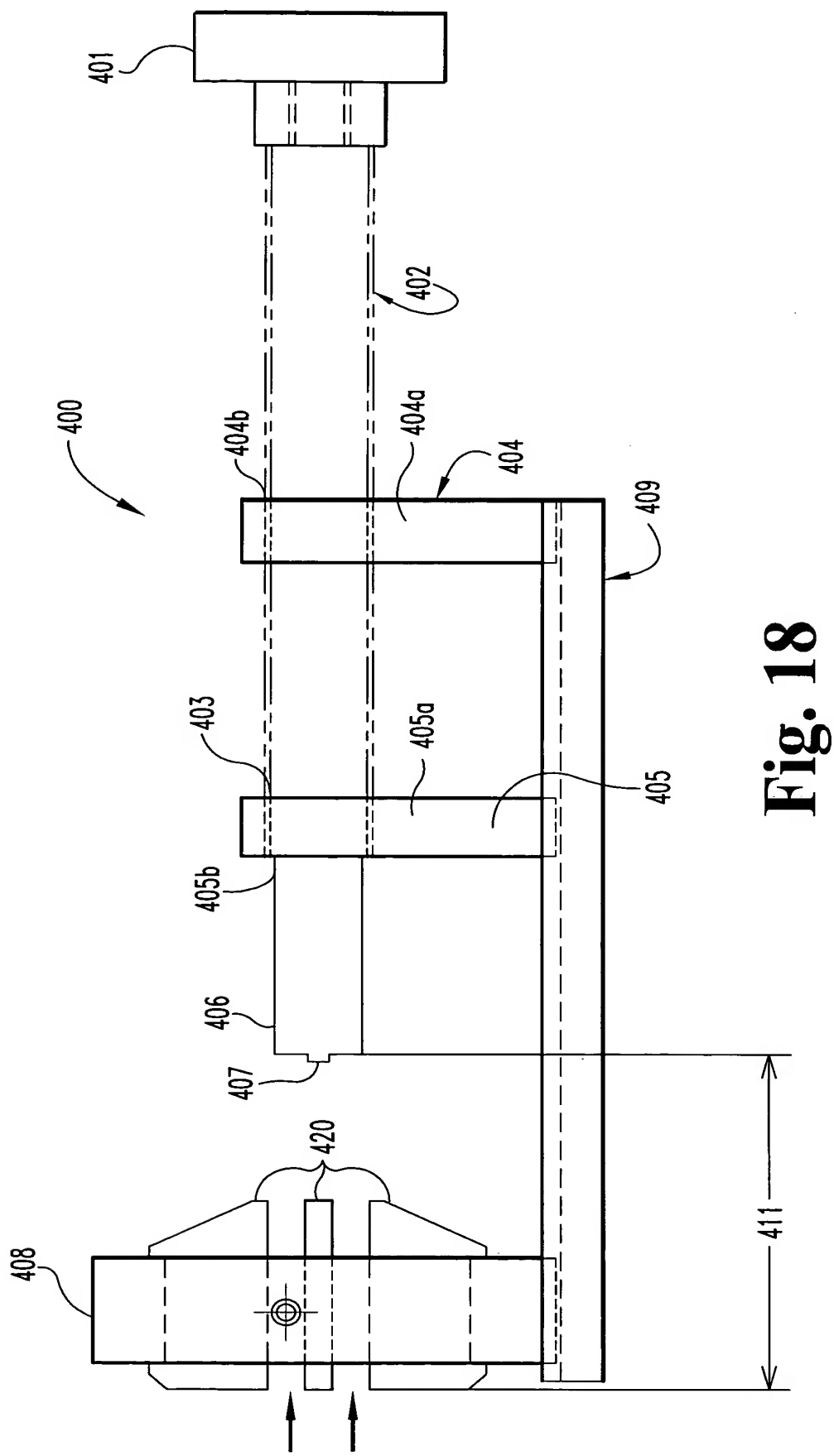


Fig. 18

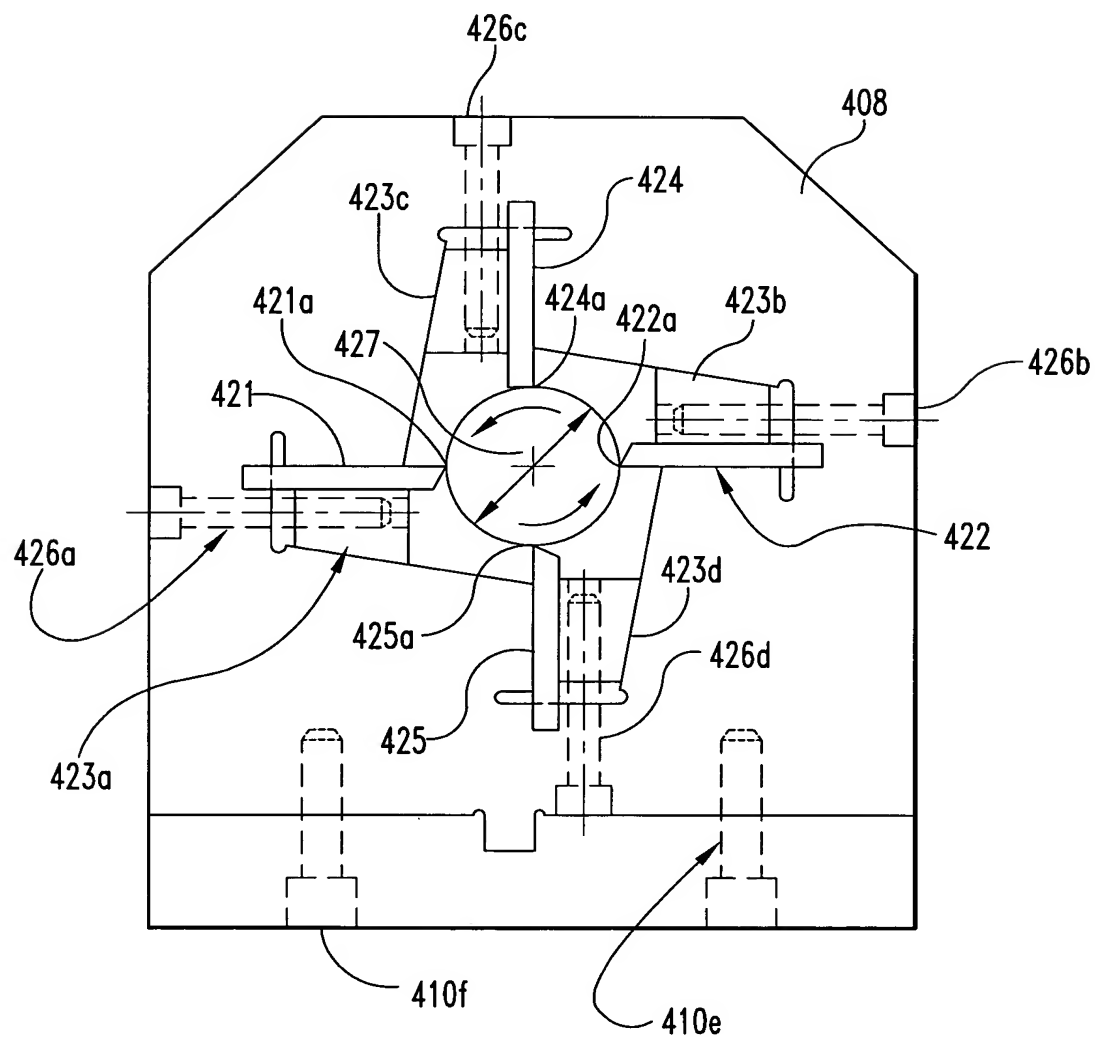


Fig. 19

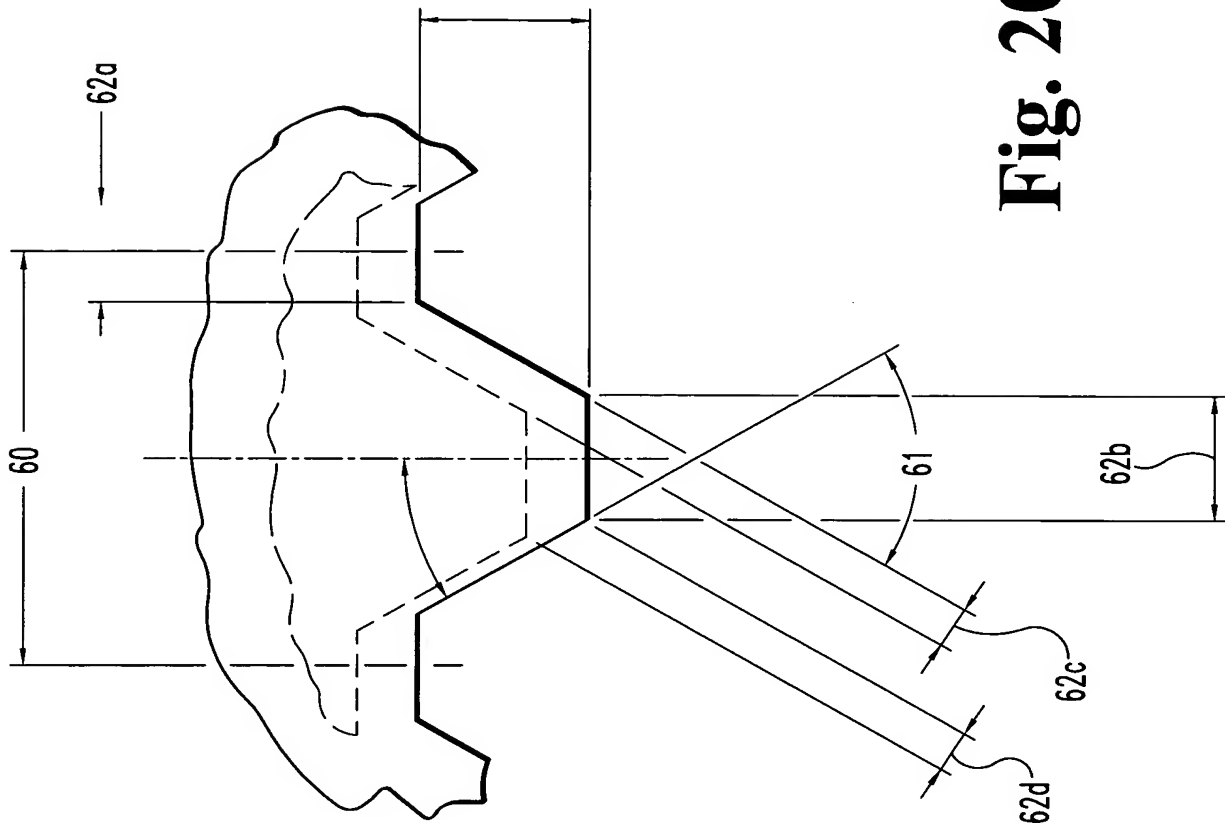


Fig. 20

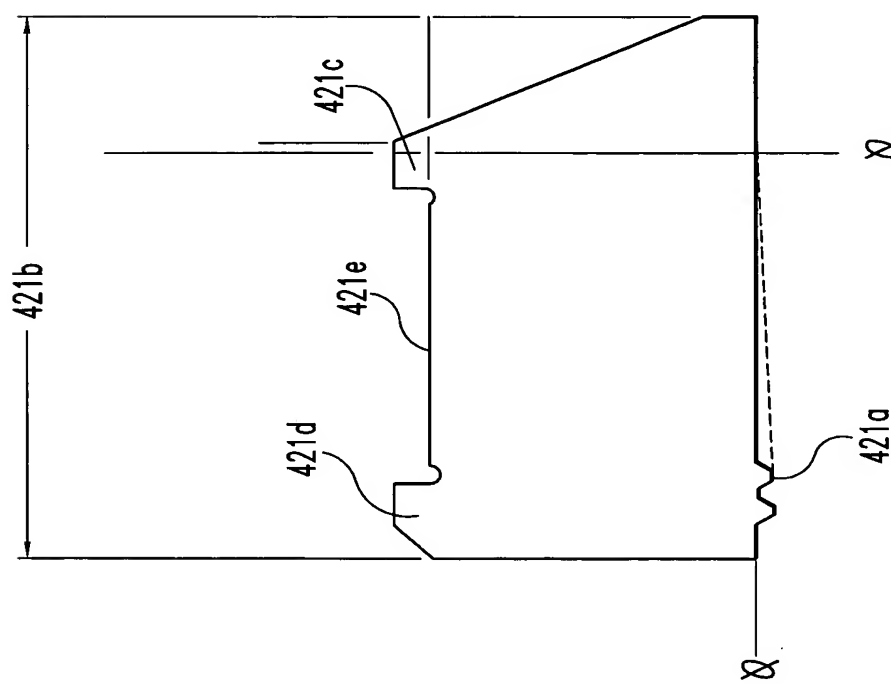


Fig. 21

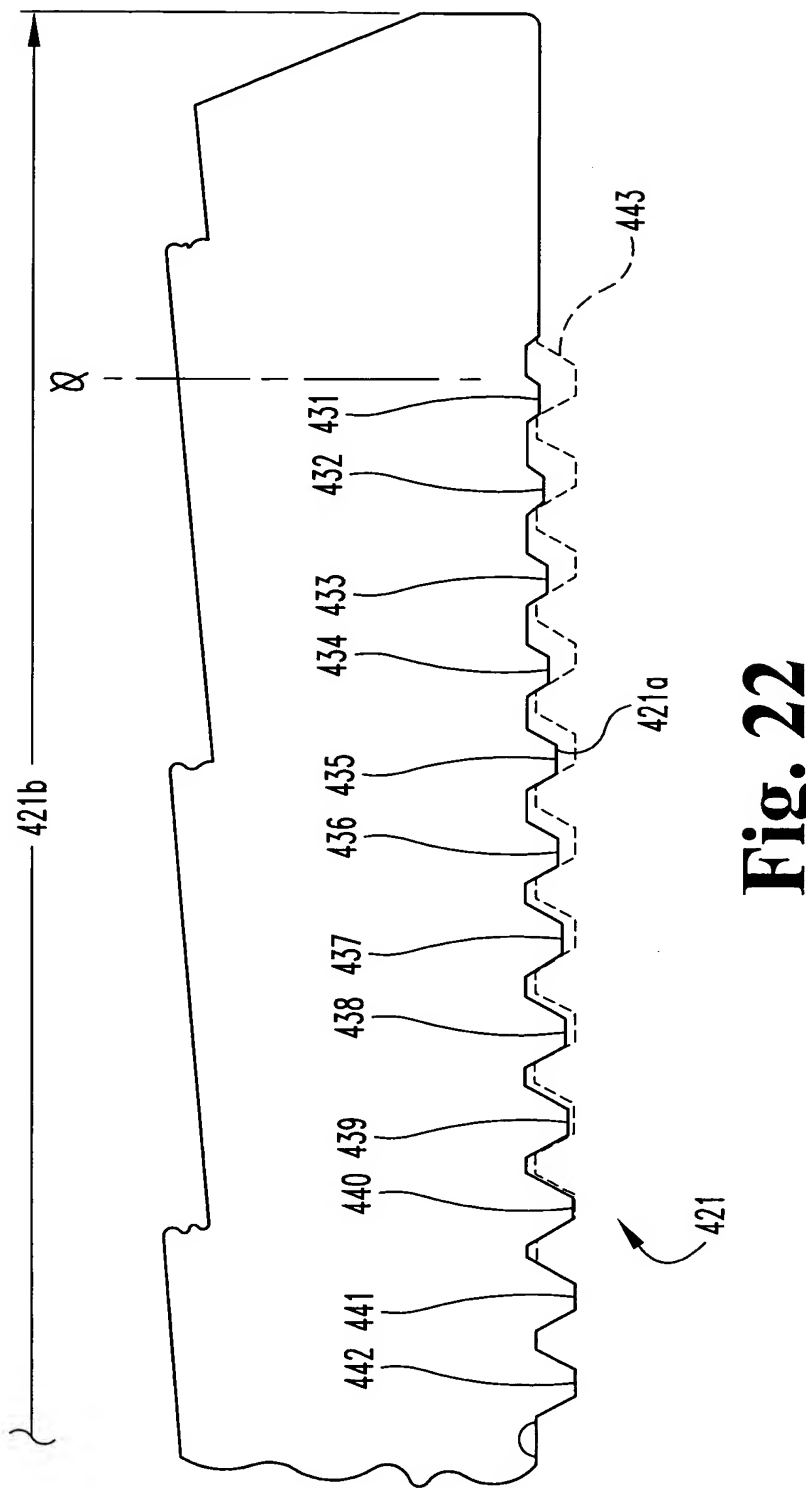


Fig. 22

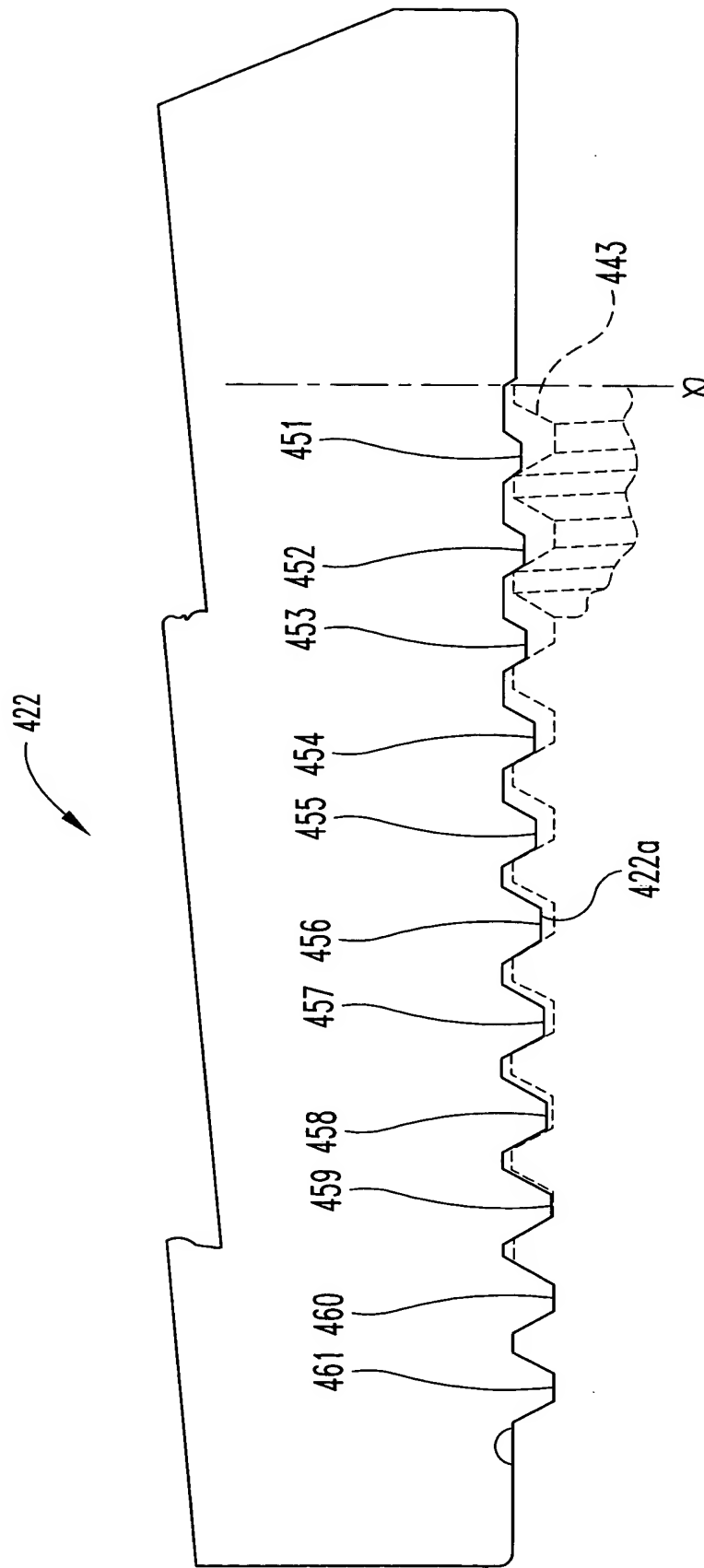


Fig. 23

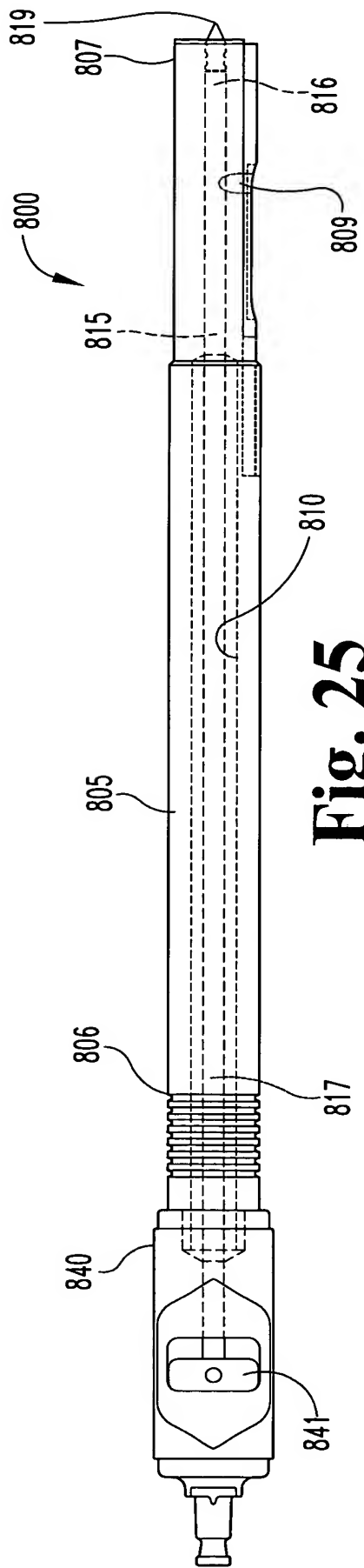


Fig. 25

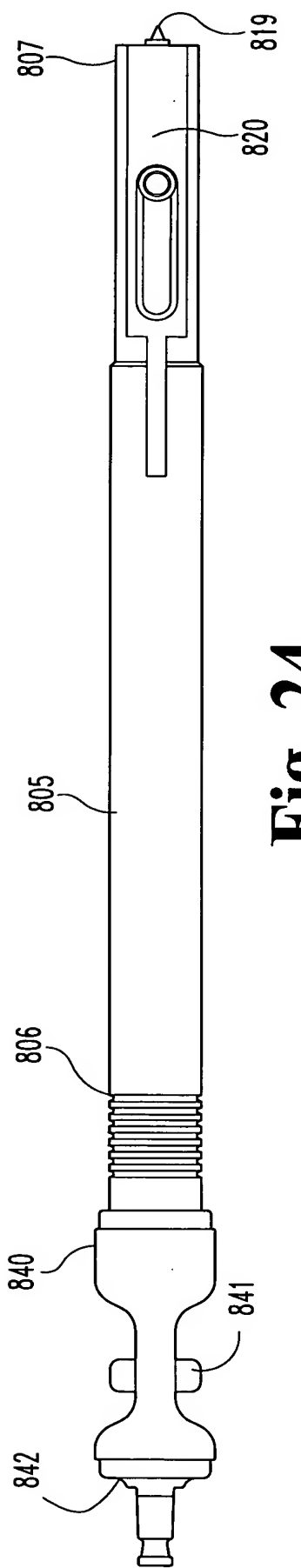


Fig. 24

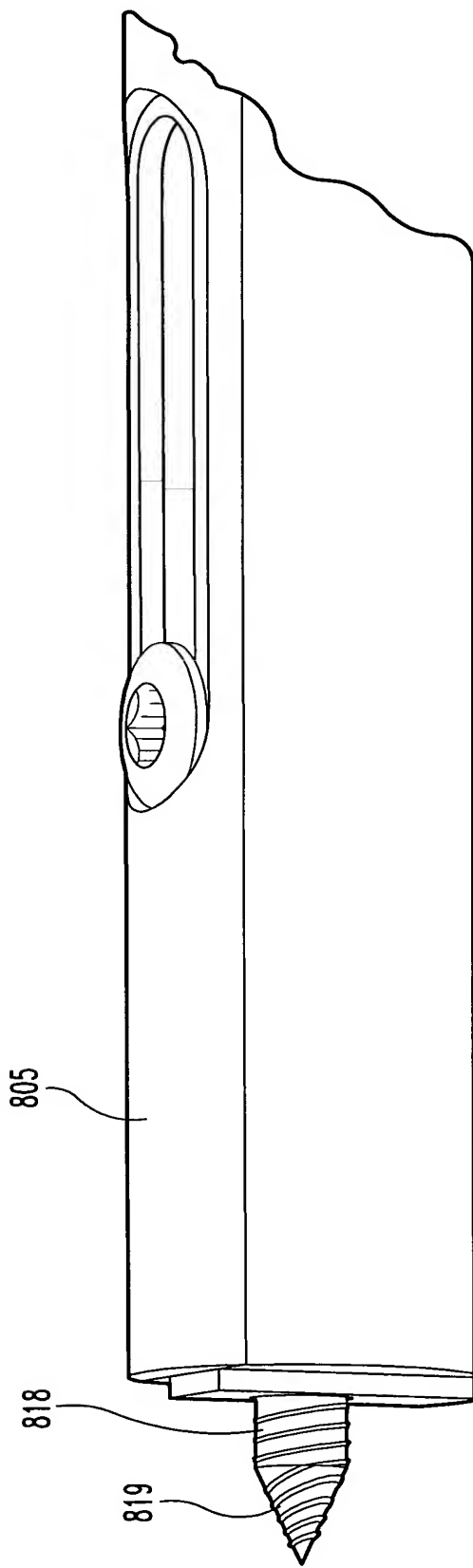


Fig. 26

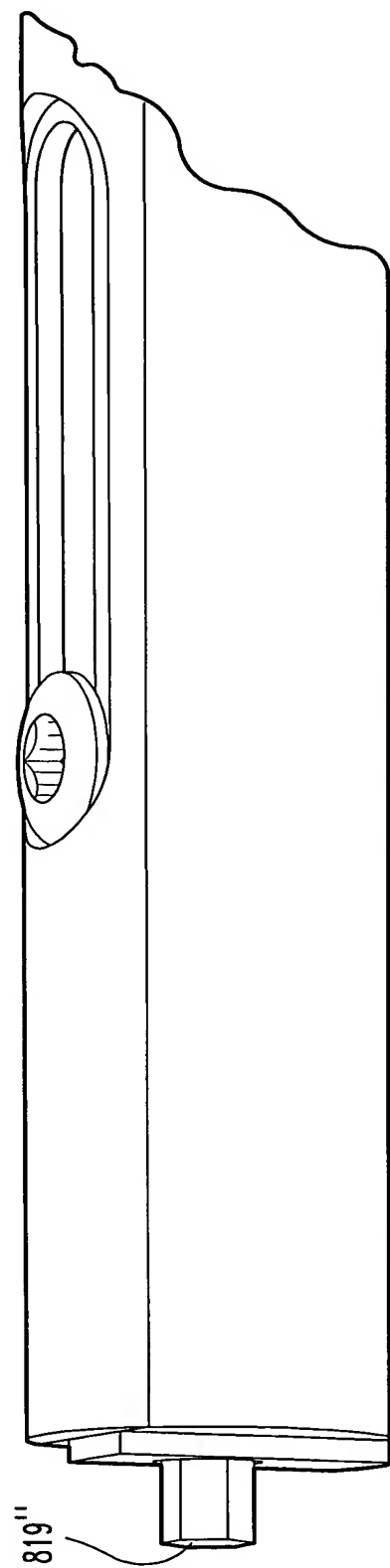


Fig. 27

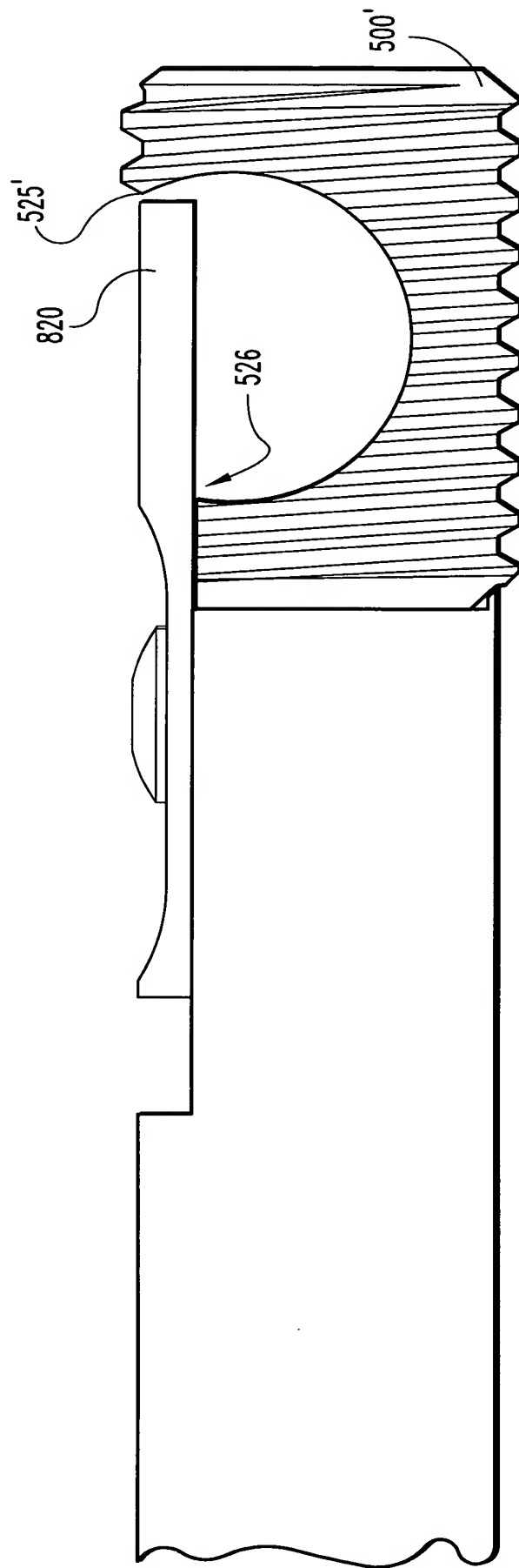


Fig. 28

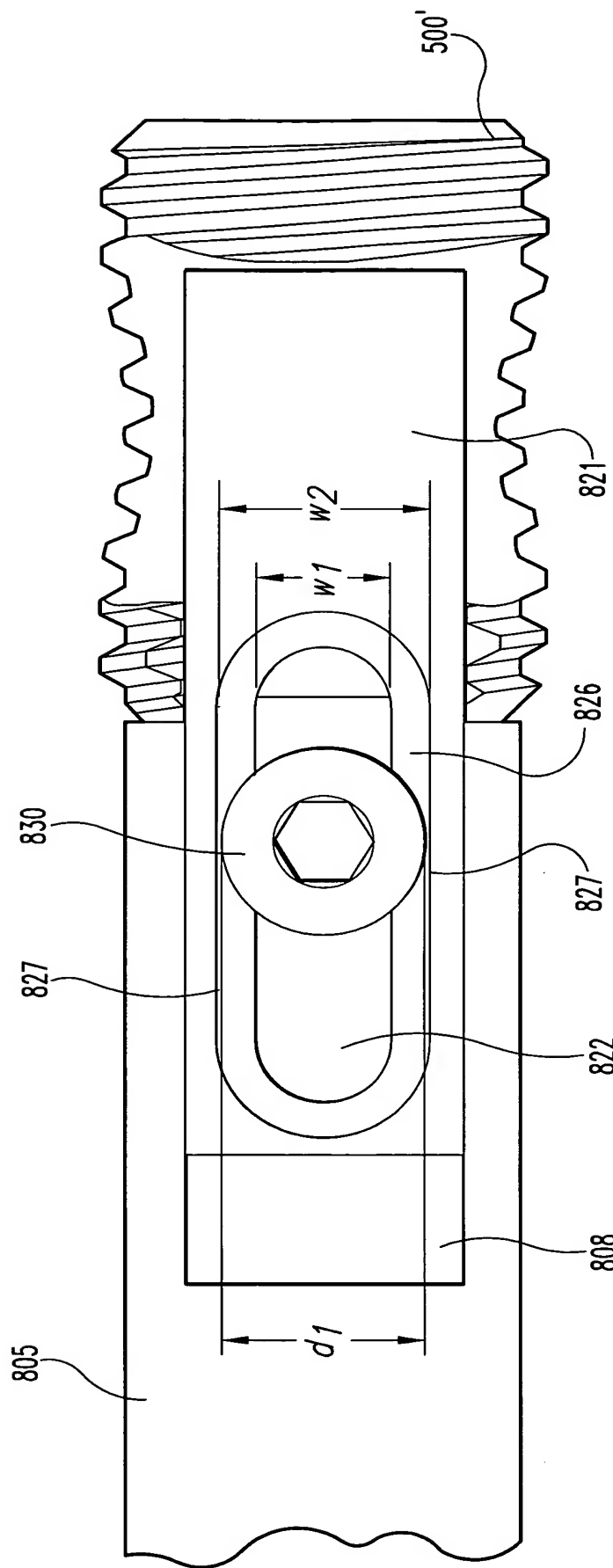
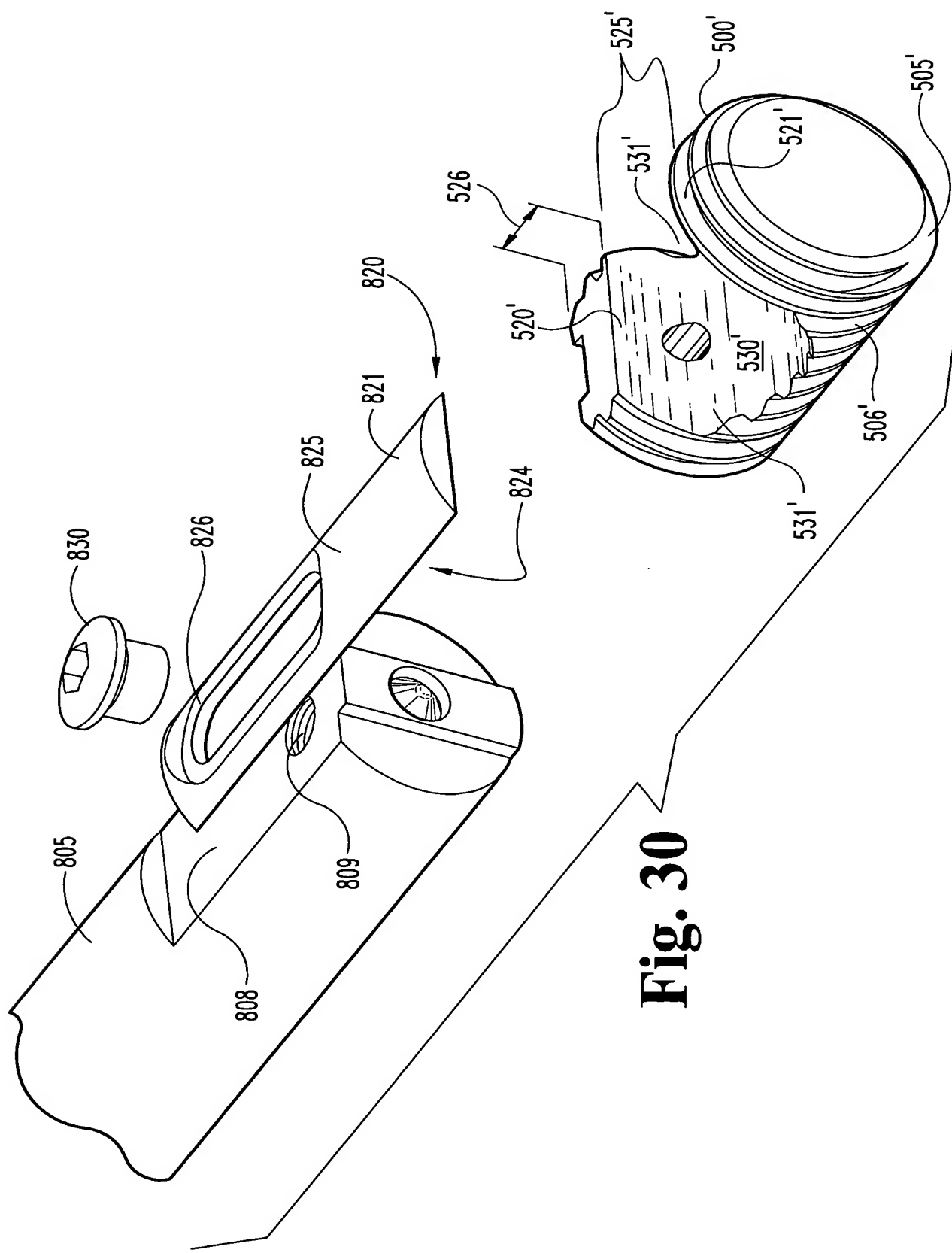
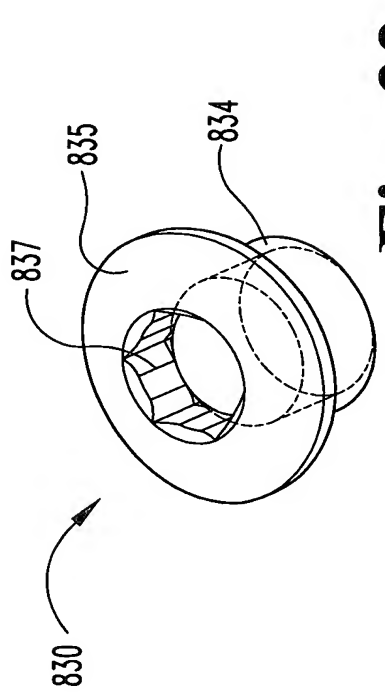
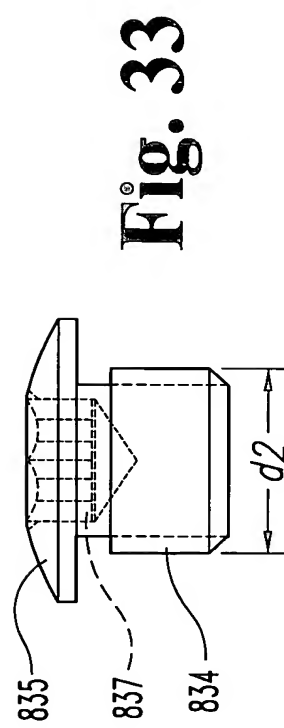
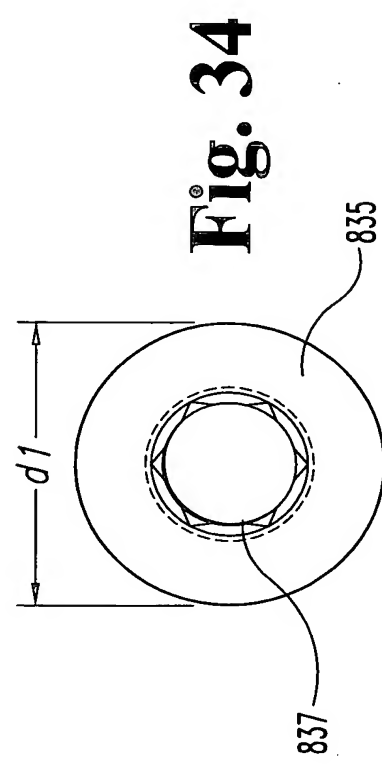
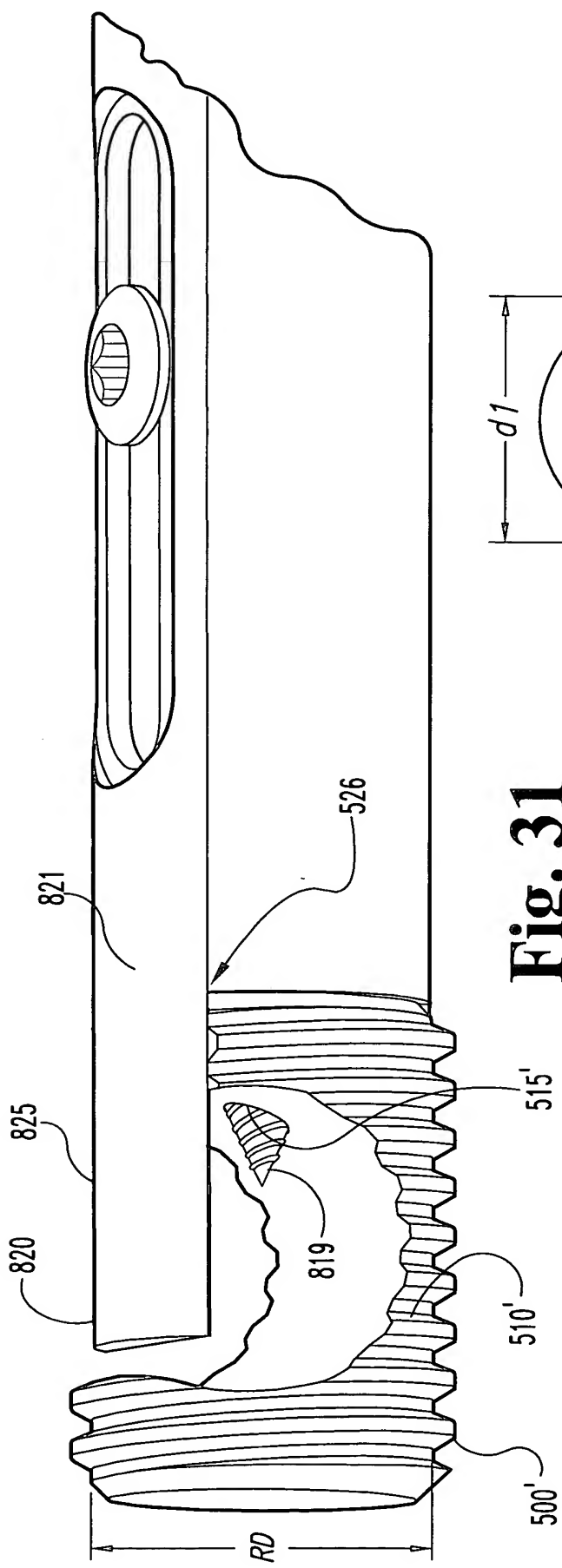


Fig. 29





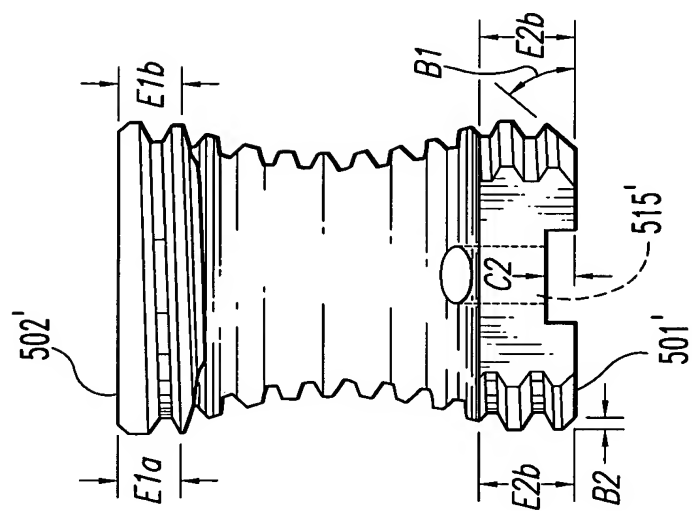


Fig. 36

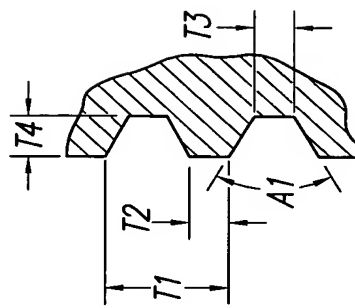


Fig. 38

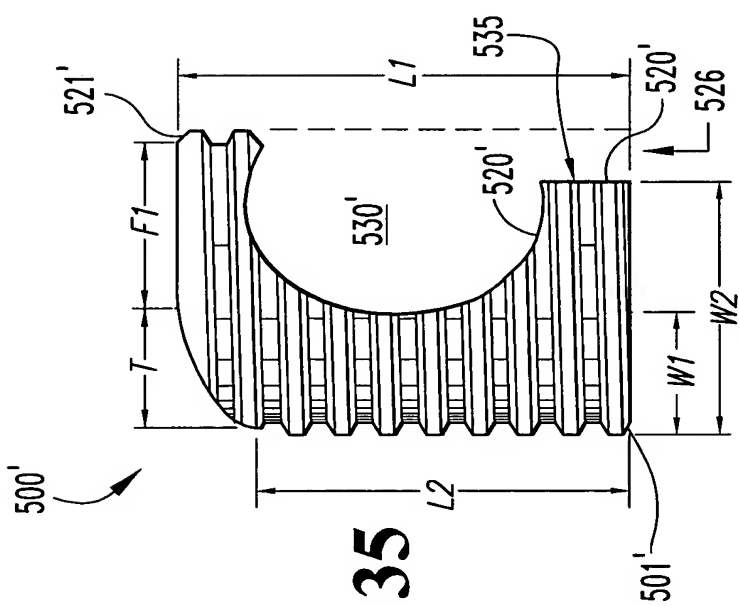


Fig. 35

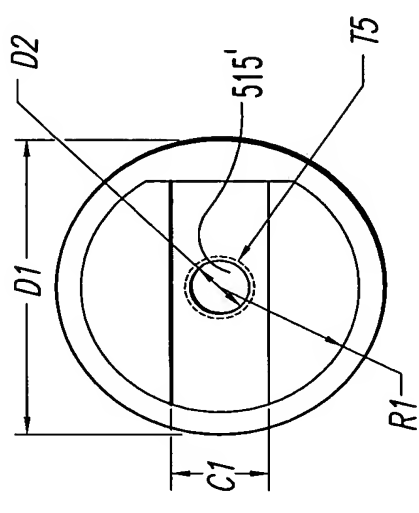


Fig. 37

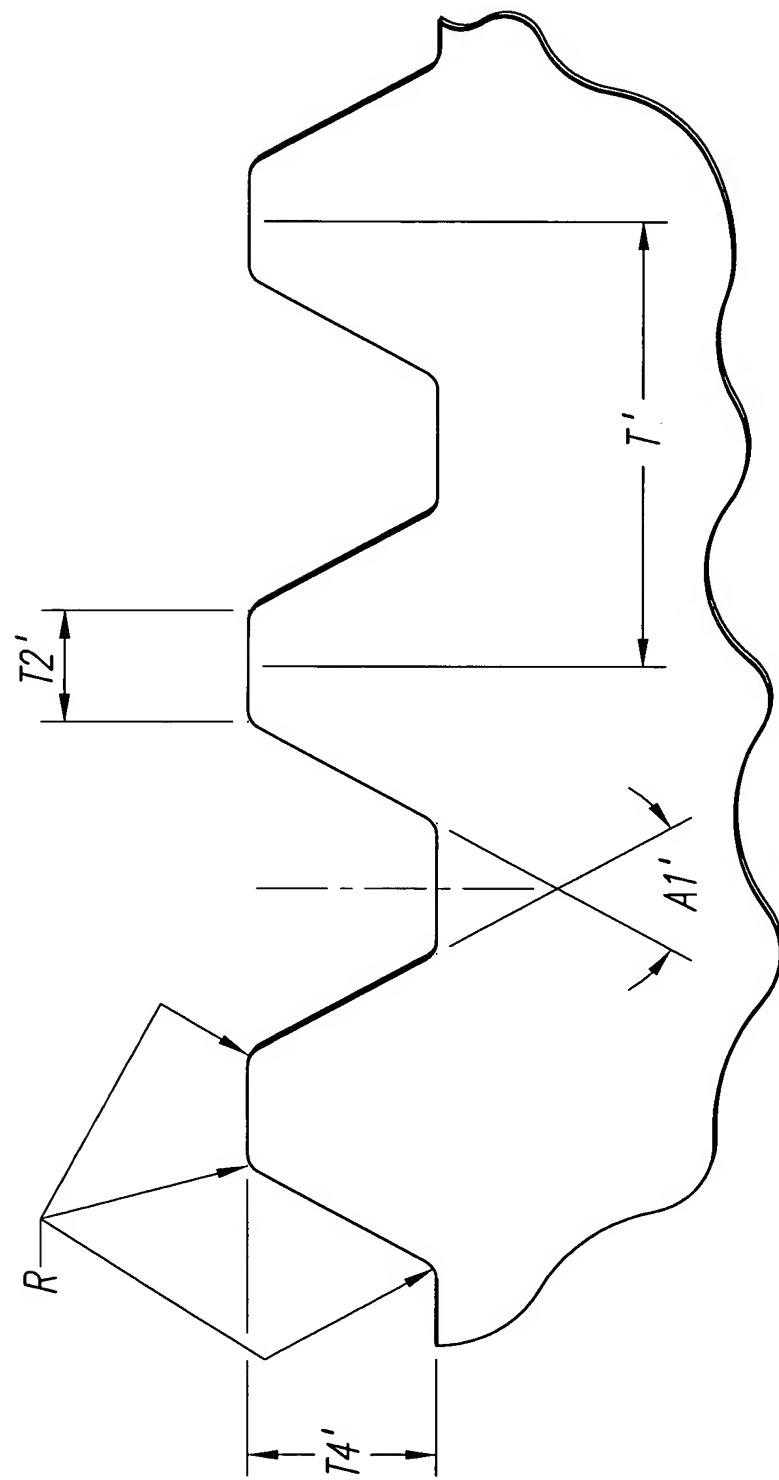


Fig. 39